

宮城県・福島県・茨城県沖における海域モニタリング(海底土)結果

Readings of Sea Area Monitoring at offshore of Miyagi, Fukushima and Ibaraki Prefecture -marine soil-

平成24年1月25日

Jan 25, 2012

文 部 科 学 省

Ministry of Education, Culture, Sports, Science and
Technology (MEXT)

海底土の放射能濃度

Radioactivity concentration in marine soil

測定試料 採取点※1 Sampling Point※1	採取日時 Sampling Time and Date	緯度, 経度 Latitude, Longitude	深度 Depth	放射能濃度(Bq / kg・乾土) Radioactivity Concentration(Bq / kg・Dry Soil)		
				Cs-134	Cs-137	その他検出された核種 Other detected nuclides
【A1】	2011/12/15 13:54	38° 30.0' N, 141° 50.9' E	205m	4.9	7.5	
【A3】	2011/12/15 8:19	38° 30.0' N, 142° 04.9' E	486m	20	27	
【a1】	2011/12/16 7:49	38° 15.0' N, 141° 50.9' E	211m	9.2	12	
【B1】	2011/12/16 11:30	38° 05.0' N, 141° 15.4' E	45m	8.8	13	
【B3】	2011/12/14 15:49	38° 04.9' N, 141° 29.2' E	119m	280	360	Ag-110m: 0.74
【C1】	2011/12/13 16:33	37° 45.0' N, 141° 15.3' E	56m	14	19	
【C3】	2011/12/13 14:15	37° 44.9' N, 141° 29.3' E	134m	66	87	
【D1】	2011/12/13 8:56	37° 35.0' N, 141° 22.3' E	124m	140	180	
【D3】	2011/12/14 11:56	37° 35.0' N, 141° 36.4' E	225m	33	41	
【E1】	2011/12/10 10:36	37° 25.0' N, 141° 22.4' E	135m	130	170	Ag-110m: 2.6
【E3】	2011/12/10 13:17	37° 25.0' N, 141° 36.3' E	231m	36	47	
【E5】	2011/12/14 8:31	37° 30.0' N, 141° 59.9' E	530m	9.9	14	
【F1】	2011/12/9 11:17	37° 15.0' N, 141° 22.4' E	143m	91	120	Ag-110m: 0.43
【F3】	2011/12/9 13:46	37° 15.0' N, 141° 36.3' E	233m	45	59	
【G0】	2011/12/9 7:36	37° 05.0' N, 141° 08.4' E	108m	160	200	Ag-110m: 1.1
【G1】	2011/12/9 9:10	37° 05.1' N, 141° 15.4' E	140m	76	92	Ag-110m: 0.91 Sb-125: 2.4
【G3】	2011/12/8 14:40	37° 05.0' N, 141° 29.3' E	209m	27	36	
【G4】	2011/12/8 8:37	36° 59.9' N, 141° 45.0' E	662m	21	27	
【H1】	2011/12/7 13:16	36° 55.0' N, 141° 08.4' E	134m	49	65	
【H3】	2011/12/7 15:39	36° 54.9' N, 141° 22.4' E	234m	57	75	Ag-110m: 0.57
【I0】	2011/12/7 7:30	36° 45.0' N, 140° 53.0' E	73m	220	270	Ag-110m: 1.4 Sb-125: 4.3
【I1】	2011/12/7 8:55	36° 45.0' N, 140° 56.9' E	99m	250	310	Ag-110m: 2.0 Sb-125: 4.1
【I3】	2011/12/7 11:16	36° 44.9' N, 141° 10.9' E	185m	20	27	
【J1】	2011/12/6 7:43	36° 25.1' N, 140° 43.1' E	50m	27	35	
【J2】	2011/12/6 13:44	36° 25.0' N, 140° 56.9' E	284m	31	40	
【J3】	2011/12/6 16:18	36° 25.1' N, 140° 04.0' E	573m	37	48	Sb-125: 1.3
【K1】	2011/12/5 15:14	36° 04.1' N, 140° 42.6' E	27m	14	18	
【K2】	2011/12/5 13:03	36° 04.0' N, 140° 57.0' E	206m	14	18	
【L1】	2011/12/5 10:04	35° 45.0' N, 140° 57.0' E	45m	5.0	6.6	
【L3】	2011/12/5 7:51	35° 45.0' N, 141° 10.9' E	165m	16	21	

独) 日本原子力研究開発機構が分析。

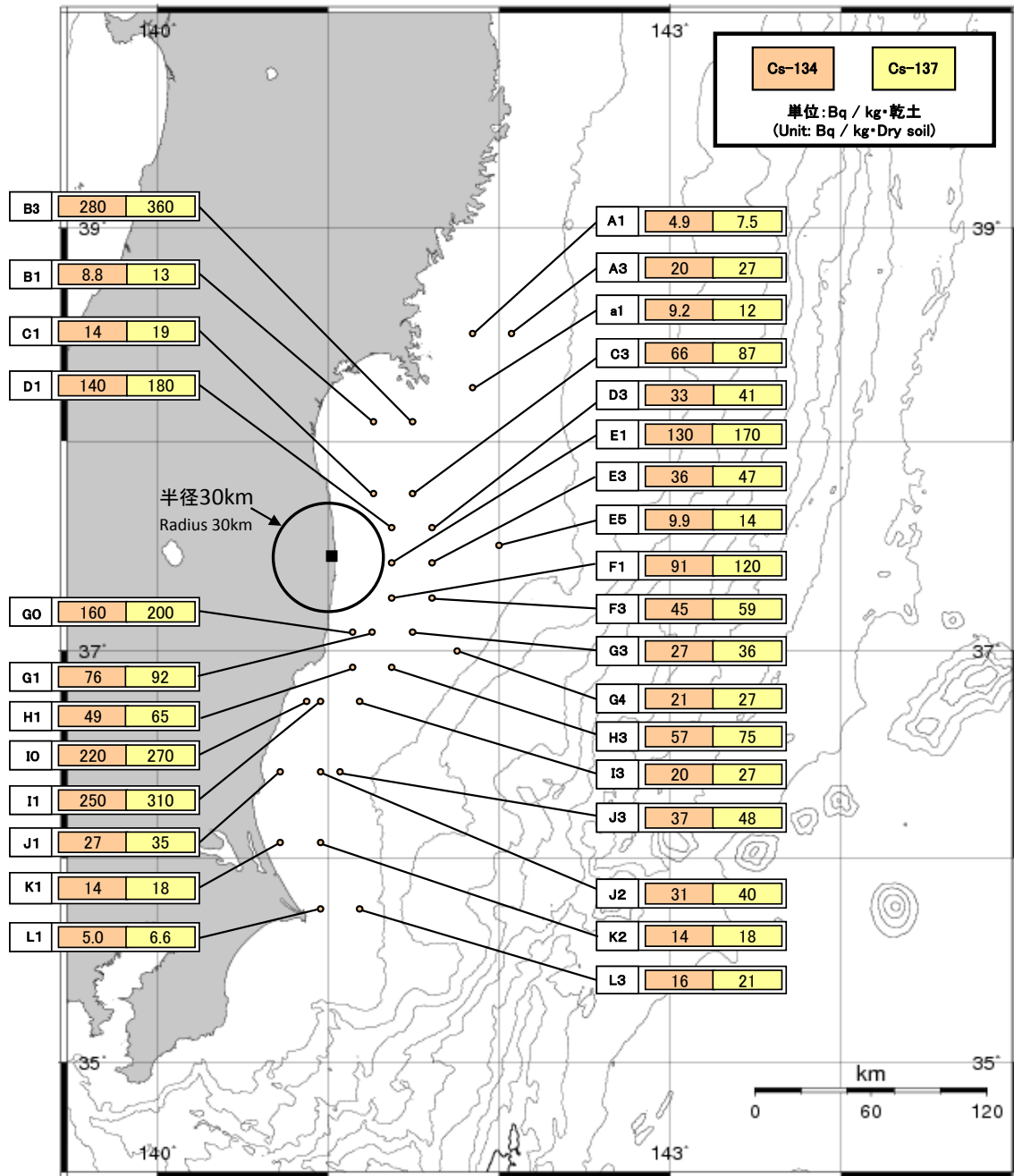
Analysed by Japan Atomic Energy Agency(JAEA).

※1 【 】内の番号は、図の測点番号に対応。

※1 The character enclosed in parentheses (Ex. 【A1】) indicates monitoring point in figure.

海域モニタリング結果
Readings of Sea Area Monitoring
海底土のCs-134及びCs-137の放射能濃度分布
 Distribution map of radioactivity concentration of Cs-134 and Cs-137 in marine soil

公表日：平成24年1月25日
 (Published: Jan 25, 2012)
 試料採取日：平成23年12月5日～16日
 (Sampling Date: Dec 5, 2011 – Dec 16, 2011)

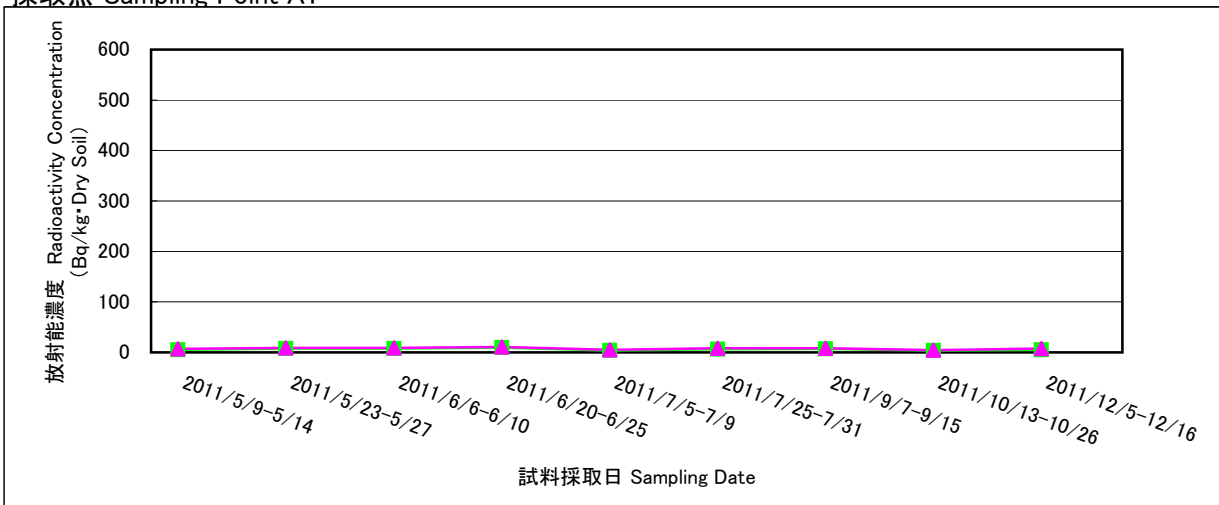


図中の■は東京電力(株)福島第一原子力発電所を示す
 独)日本原子力研究開発機構が分析。
 Analysed by Japan Atomic Energy Agency(JAEA).

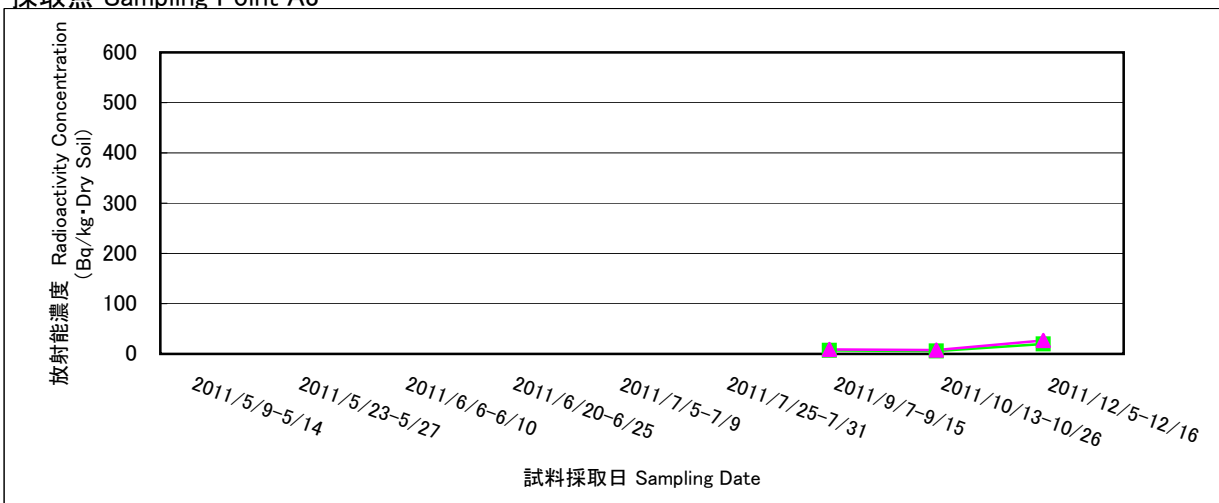
海底土のCs-134及びCs-137の放射能濃度の傾向

Trends of radioactivity concentration of Cs-134 and Cs-137 in marine soil

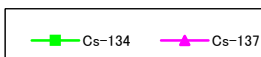
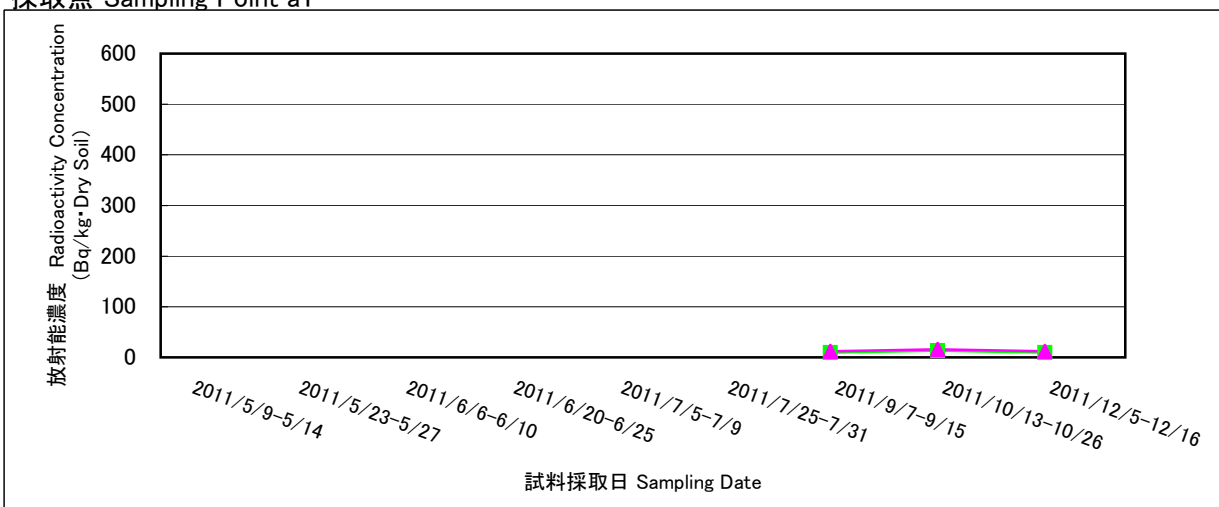
採取点 Sampling Point A1



採取点 Sampling Point A3



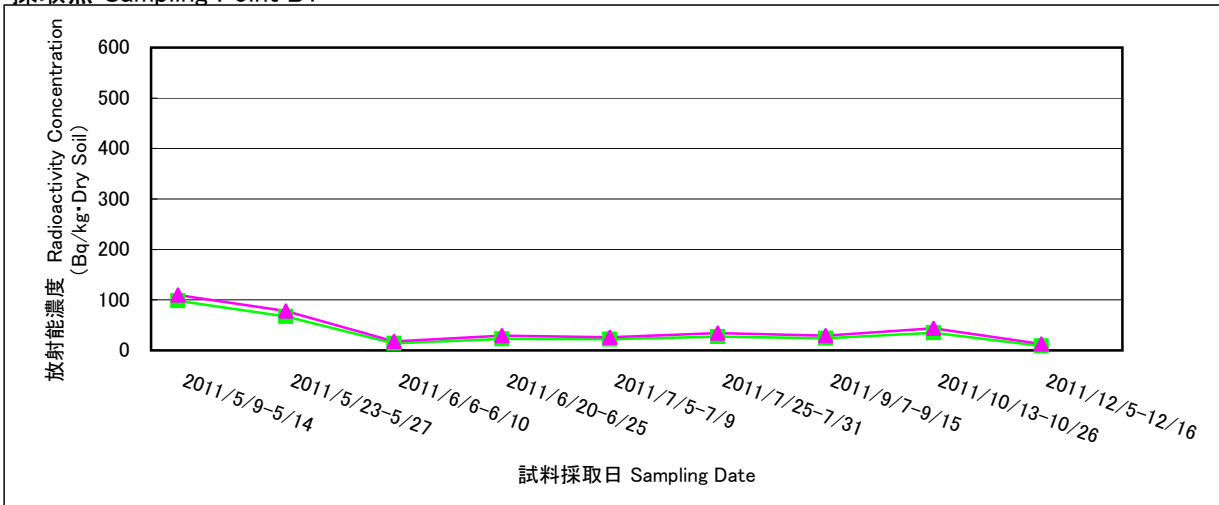
採取点 Sampling Point a1



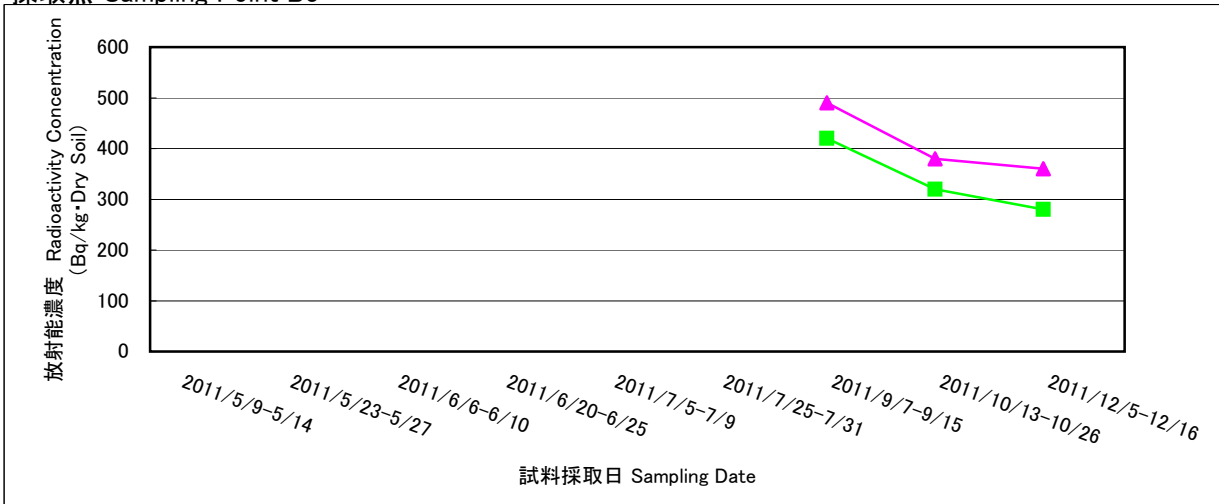
海底土のCs-134及びCs-137の放射能濃度の傾向

Trends of radioactivity concentration of Cs-134 and Cs-137 in marine soil

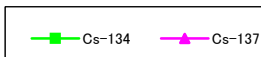
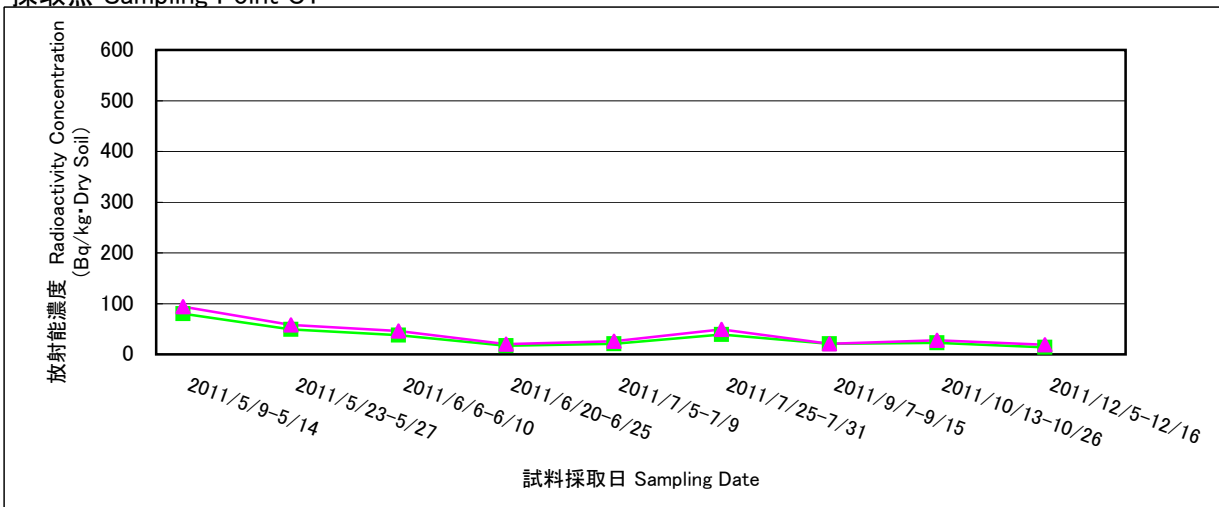
採取点 Sampling Point B1



採取点 Sampling Point B3

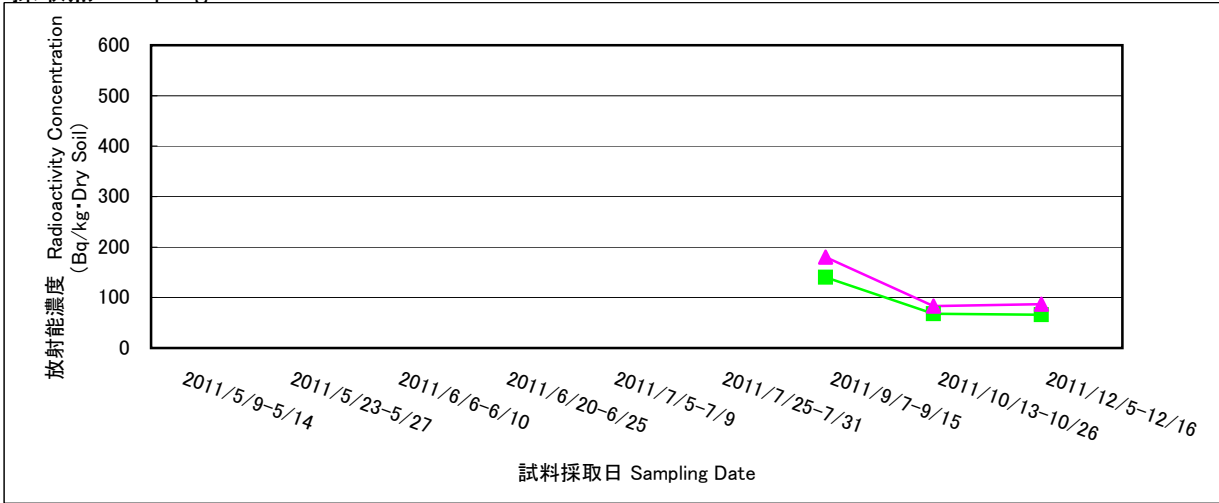


採取点 Sampling Point C1

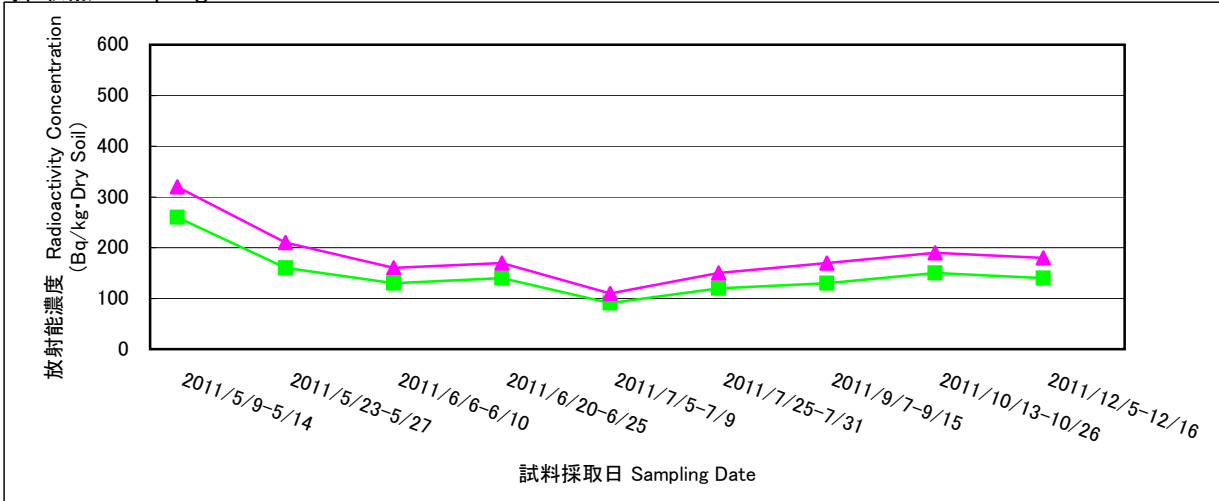


海底土のCs-134及びCs-137の放射能濃度の傾向 Trends of radioactivity concentration of Cs-134 and Cs-137 in marine soil

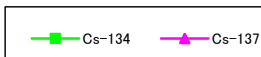
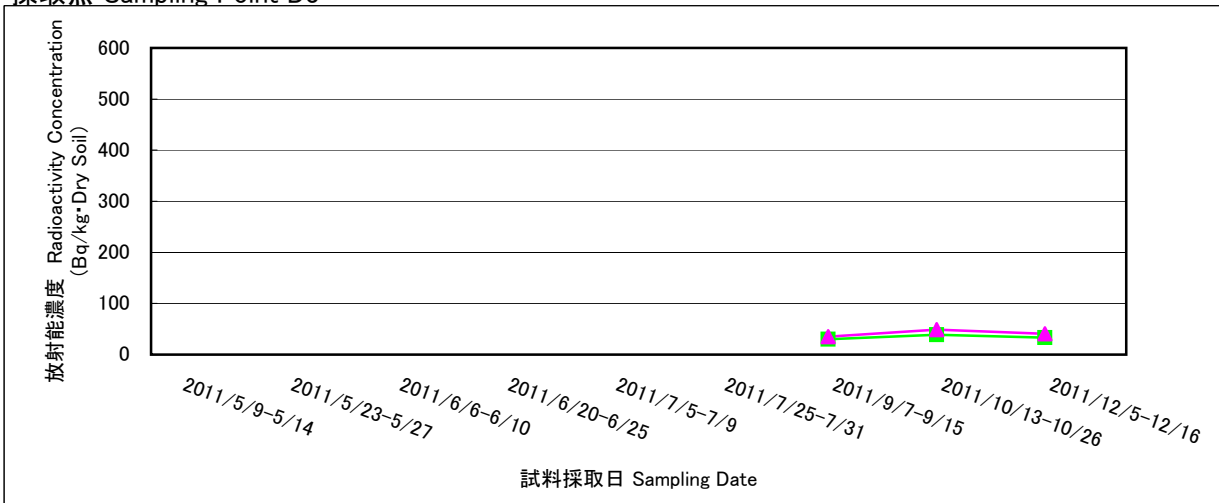
採取点 Sampling Point C3



採取点 Sampling Point D1



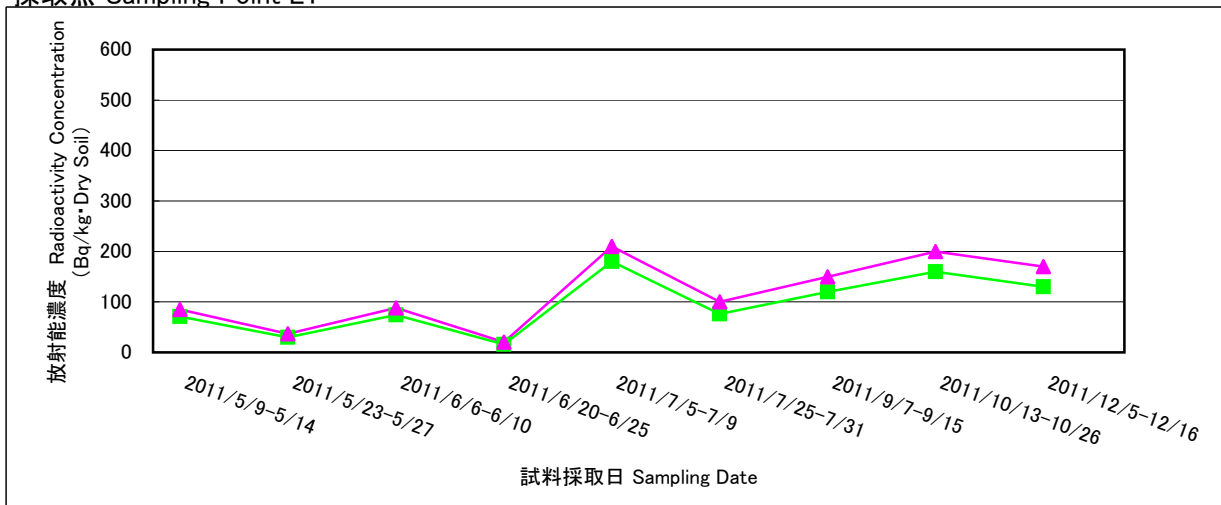
採取点 Sampling Point D3



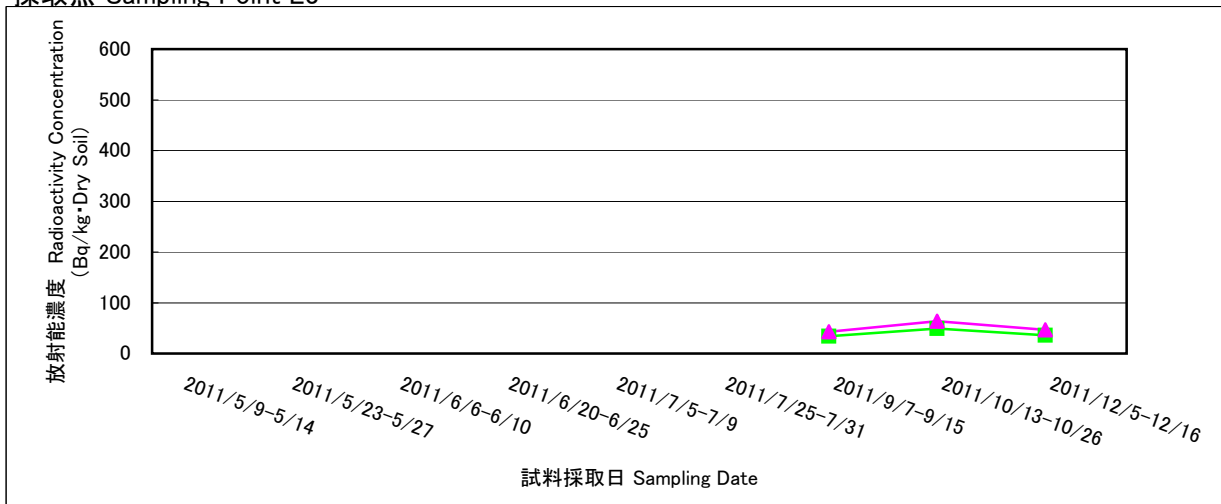
海底土のCs-134及びCs-137の放射能濃度の傾向

Trends of radioactivity concentration of Cs-134 and Cs-137 in marine soil

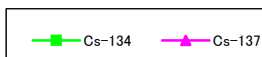
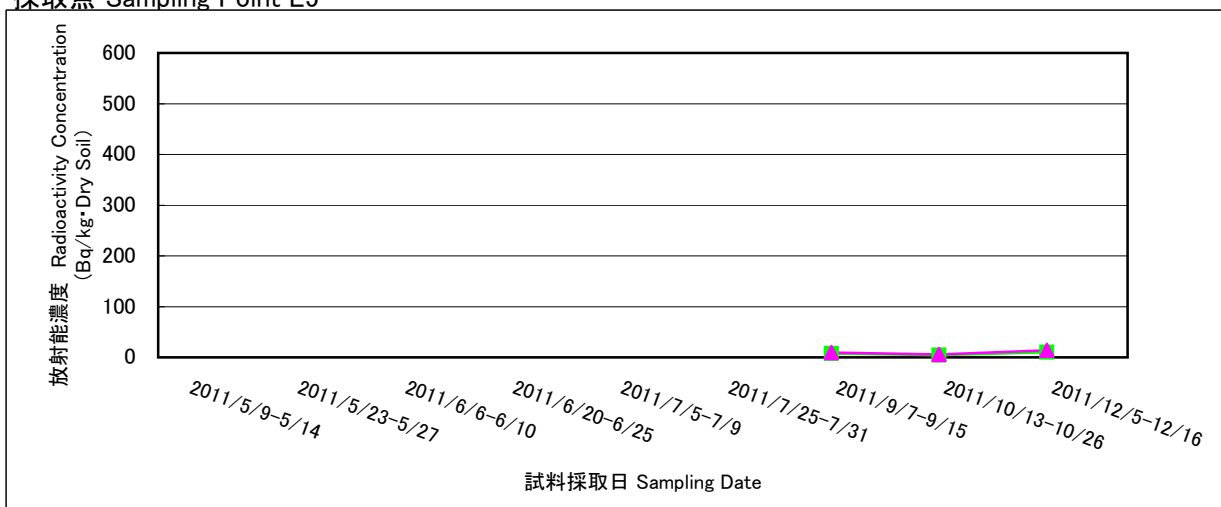
採取点 Sampling Point E1



採取点 Sampling Point E3



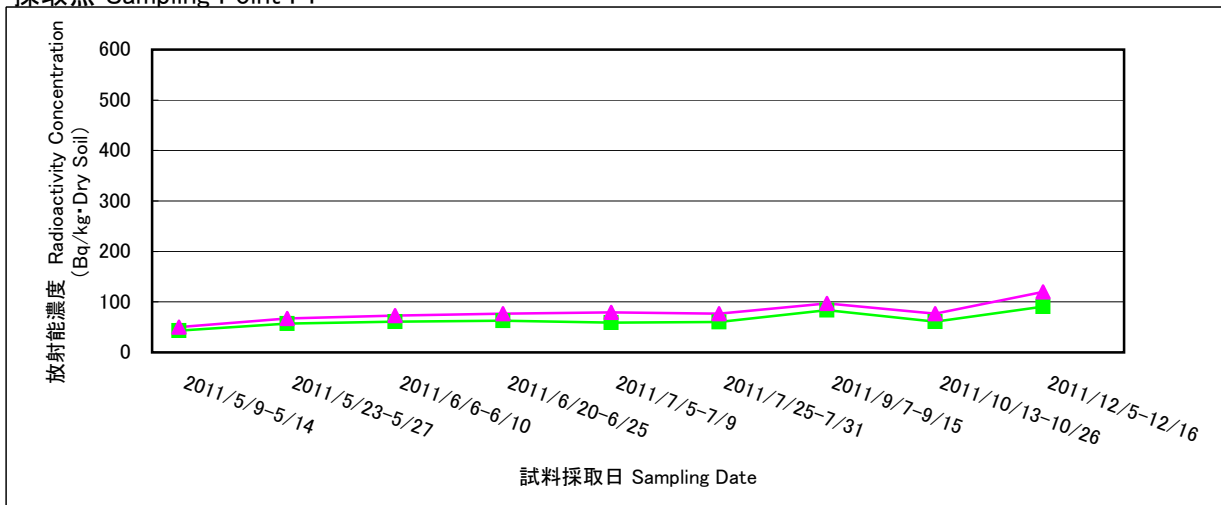
採取点 Sampling Point E5



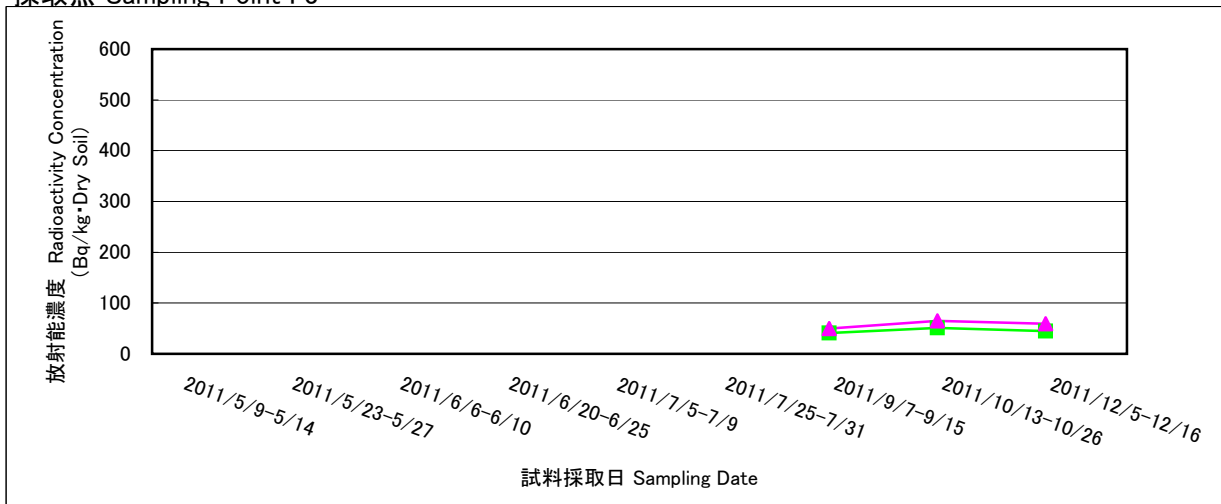
海底土のCs-134及びCs-137の放射能濃度の傾向

Trends of radioactivity concentration of Cs-134 and Cs-137 in marine soil

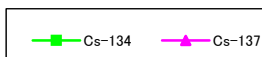
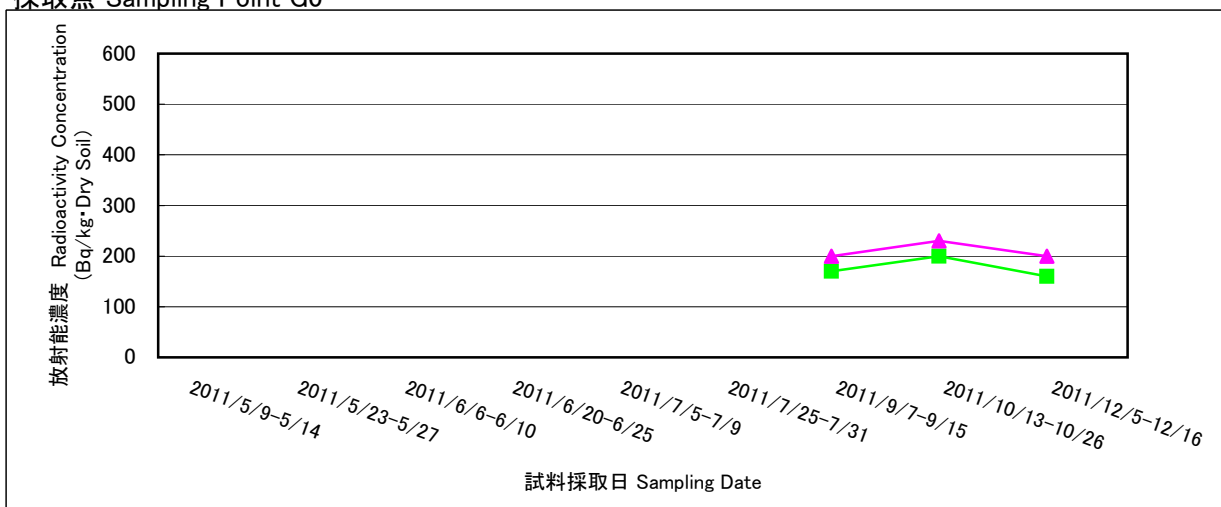
採取点 Sampling Point F1



採取点 Sampling Point F3



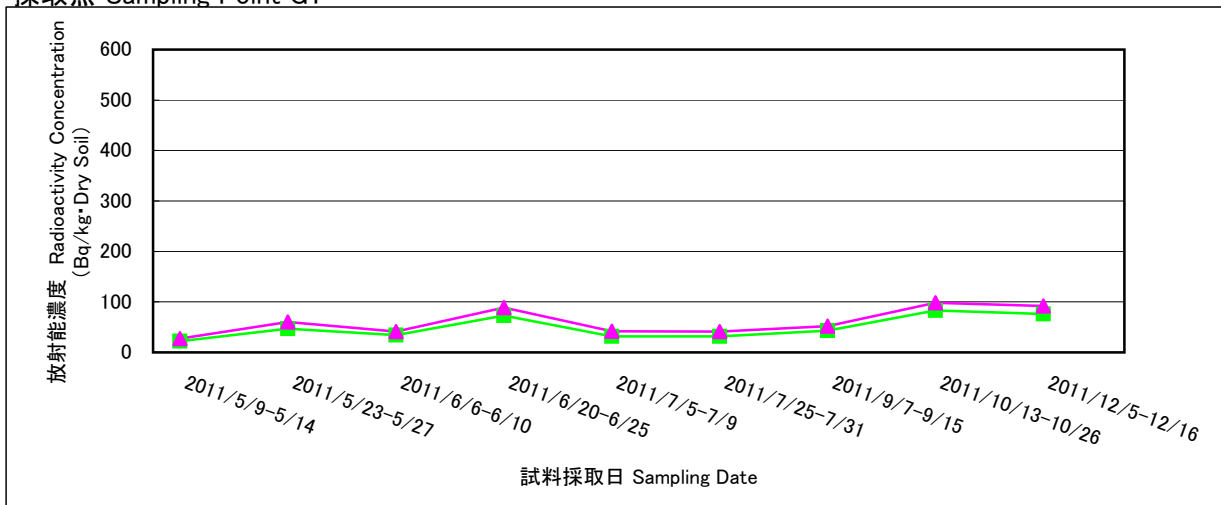
採取点 Sampling Point G0



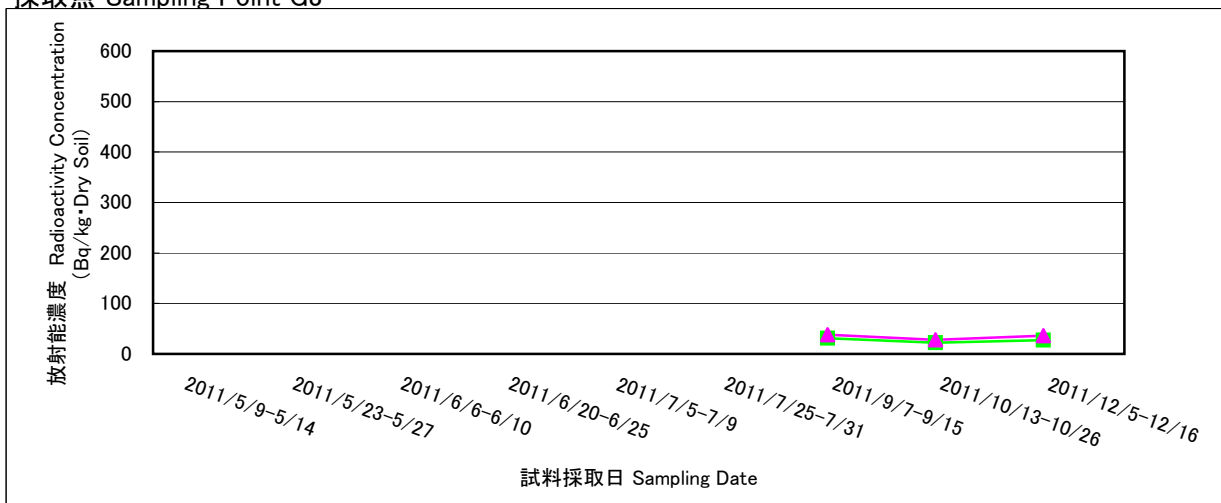
海底土のCs-134及びCs-137の放射能濃度の傾向

Trends of radioactivity concentration of Cs-134 and Cs-137 in marine soil

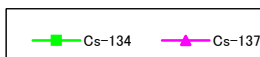
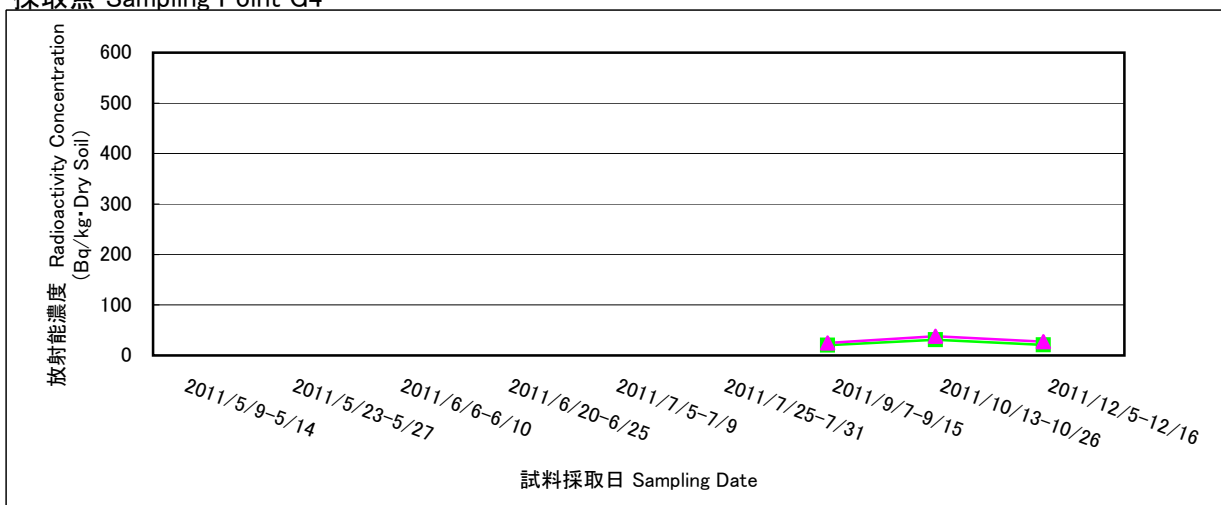
採取点 Sampling Point G1



採取点 Sampling Point G3



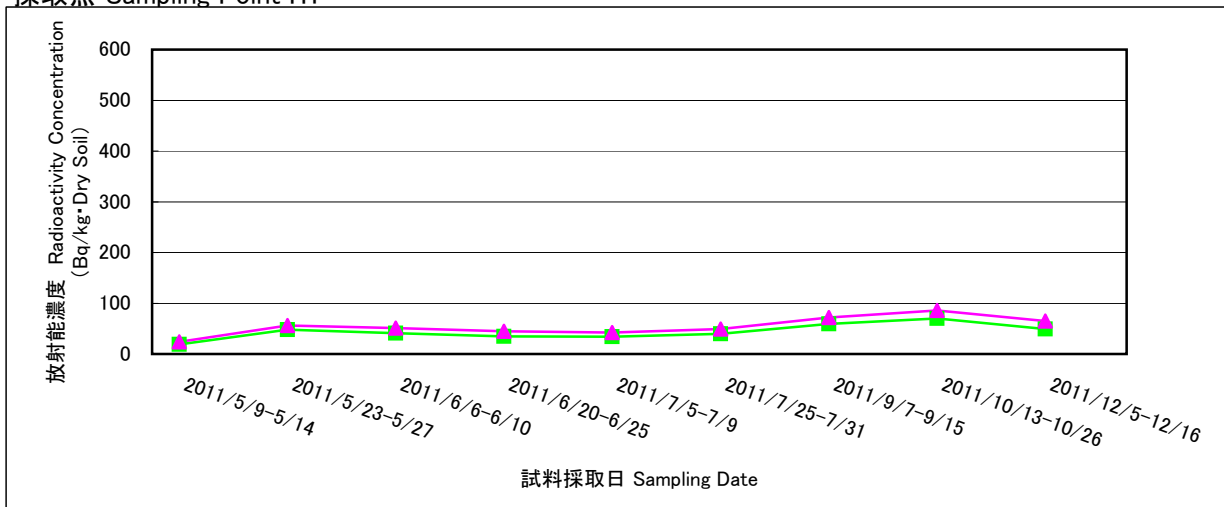
採取点 Sampling Point G4



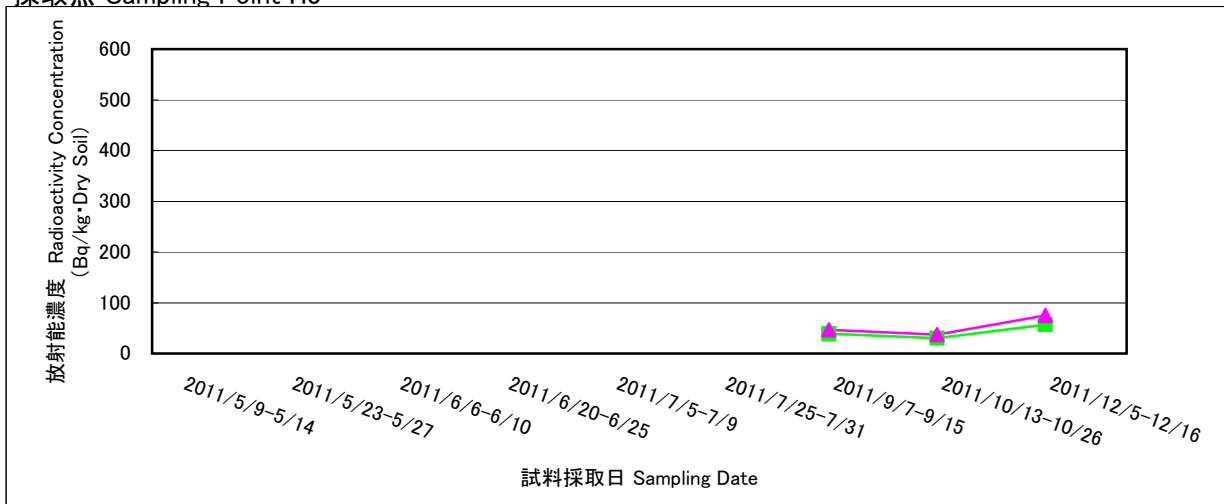
海底土のCs-134及びCs-137の放射能濃度の傾向

Trends of radioactivity concentration of Cs-134 and Cs-137 in marine soil

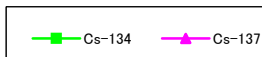
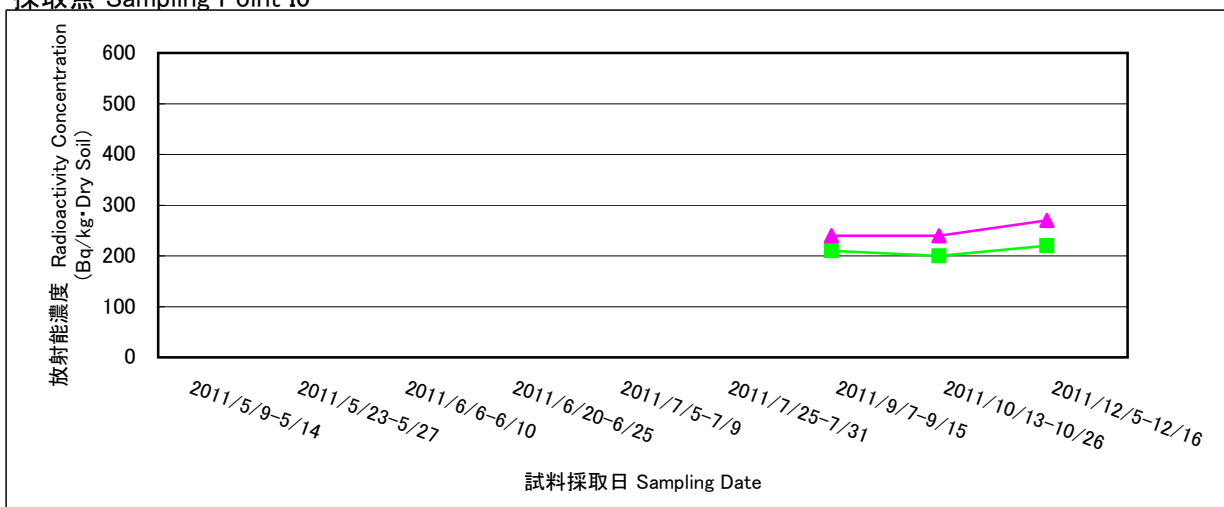
採取点 Sampling Point H1



採取点 Sampling Point H3



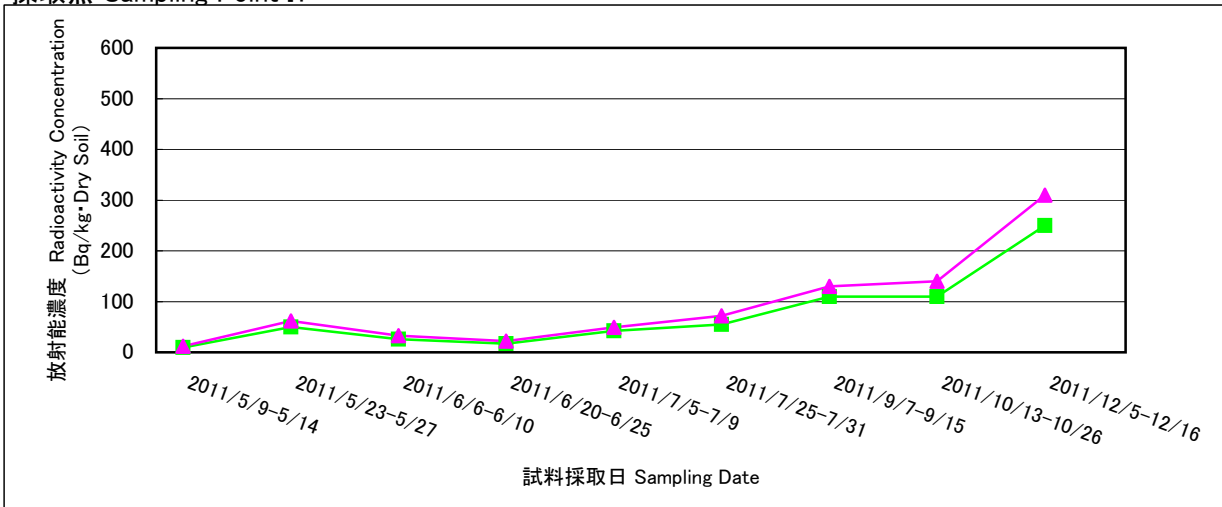
採取点 Sampling Point I0



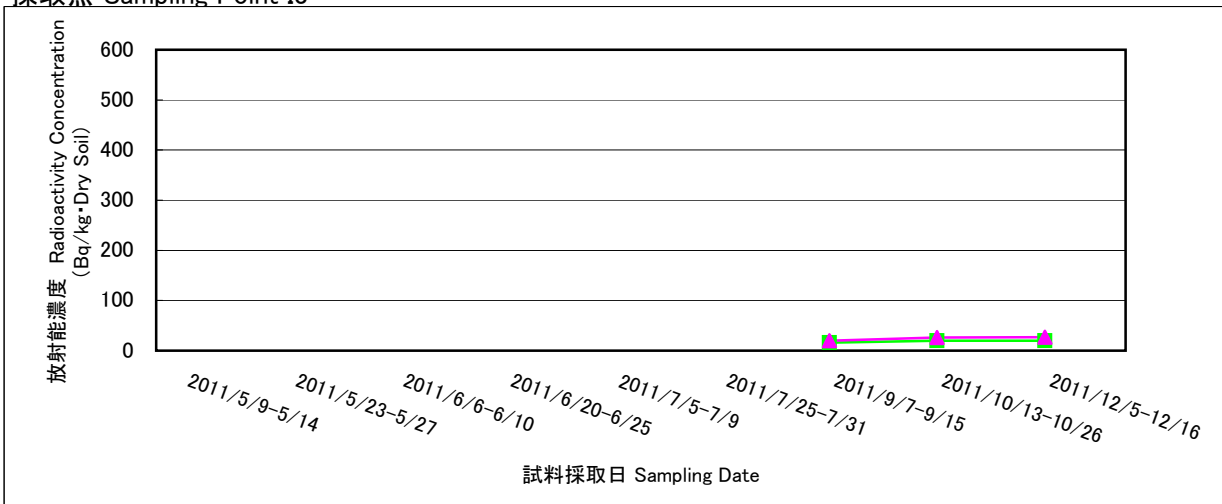
海底土のCs-134及びCs-137の放射能濃度の傾向

Trends of radioactivity concentration of Cs-134 and Cs-137 in marine soil

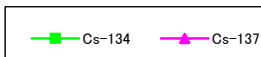
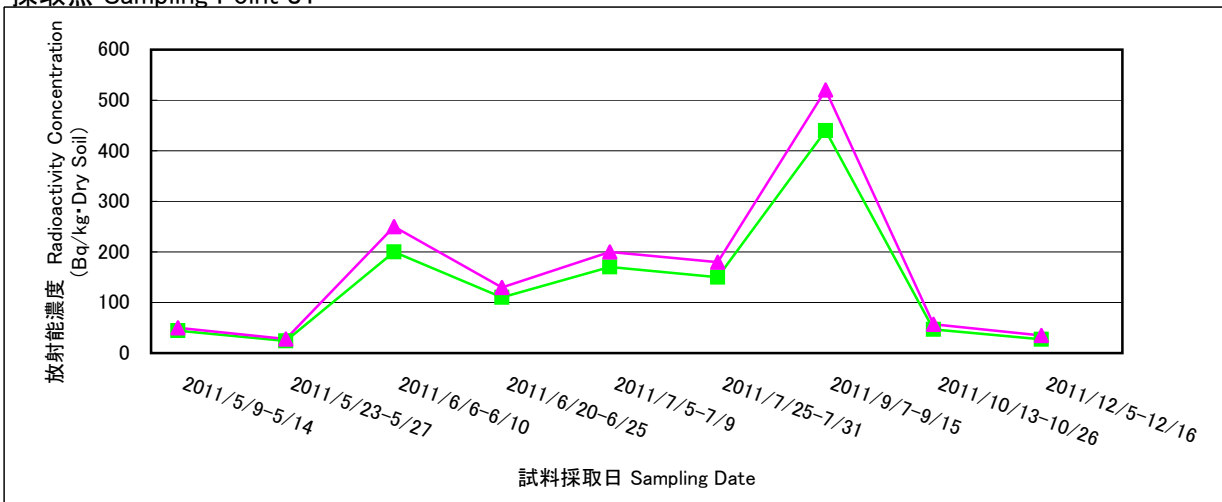
採取点 Sampling Point I1



採取点 Sampling Point I3



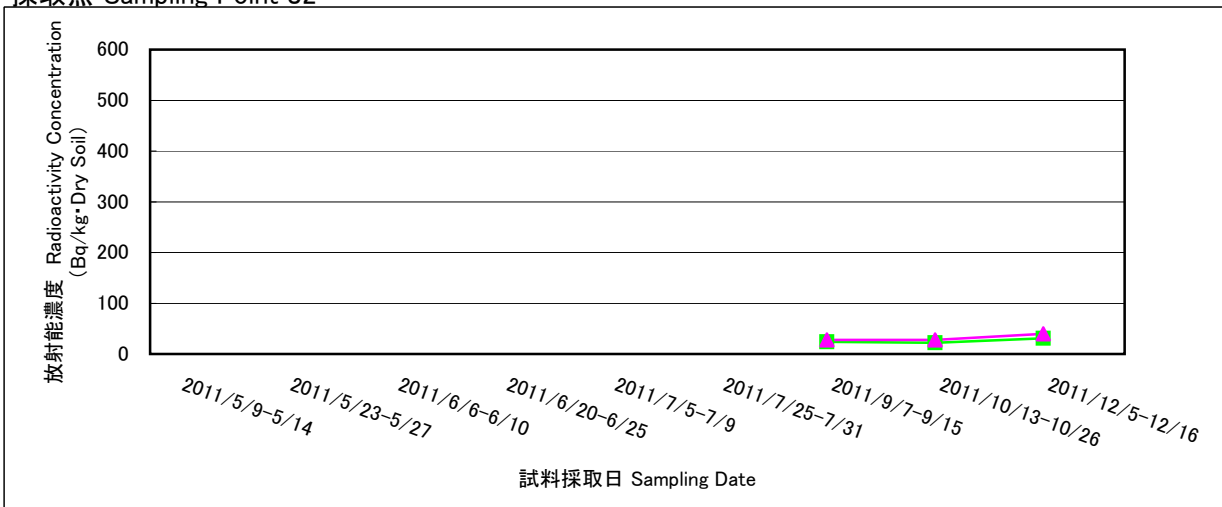
採取点 Sampling Point J1



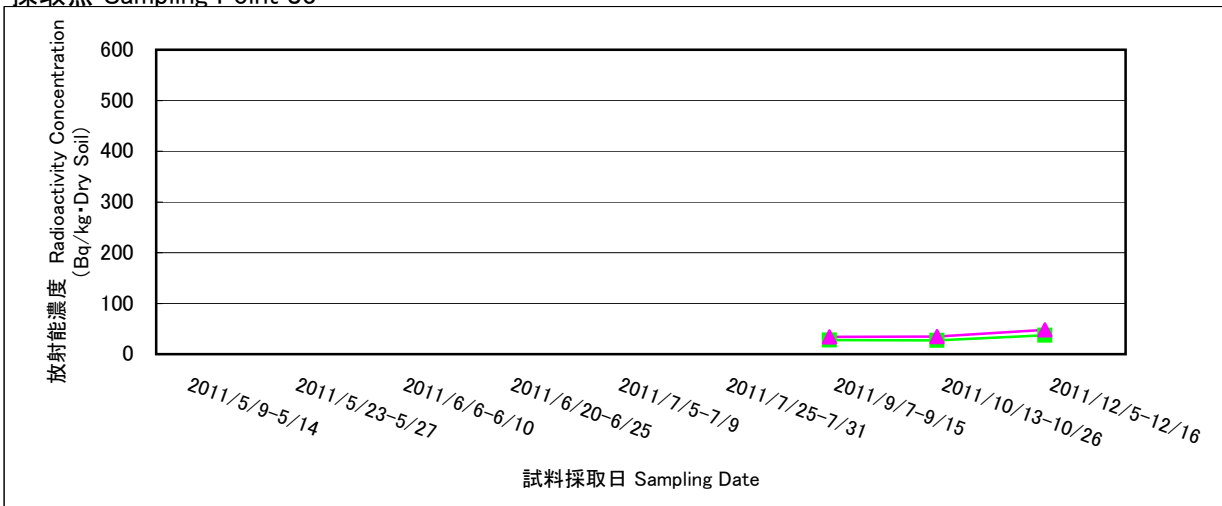
海底土のCs-134及びCs-137の放射能濃度の傾向

Trends of radioactivity concentration of Cs-134 and Cs-137 in marine soil

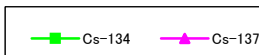
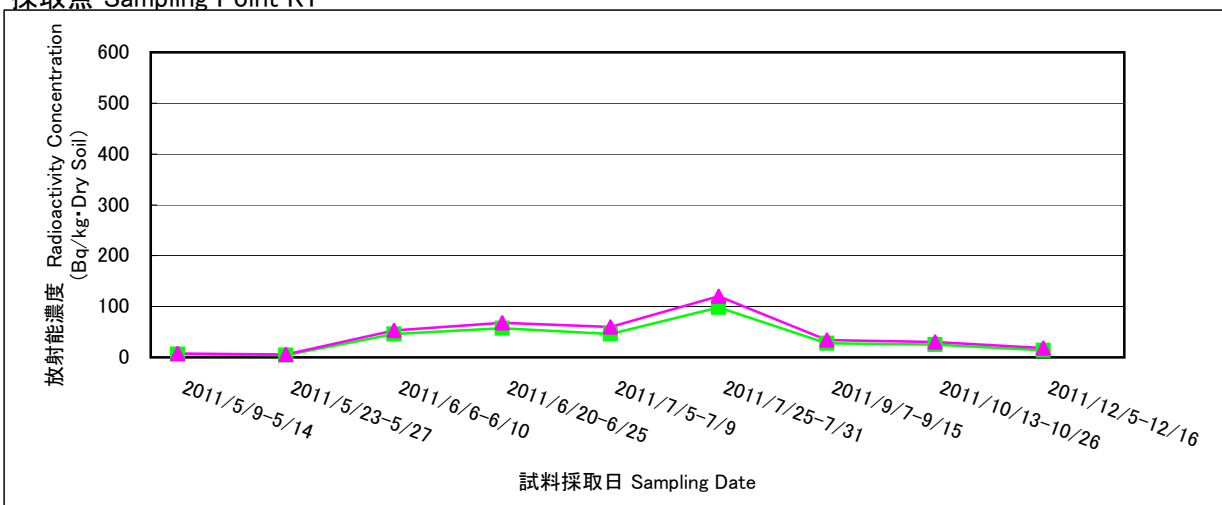
採取点 Sampling Point J2



採取点 Sampling Point J3



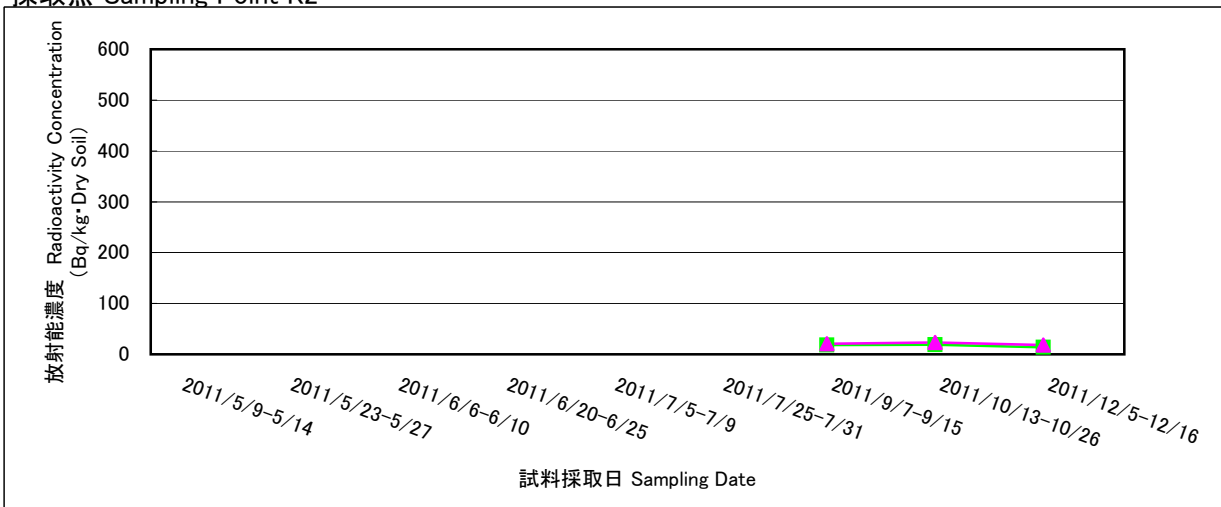
採取点 Sampling Point K1



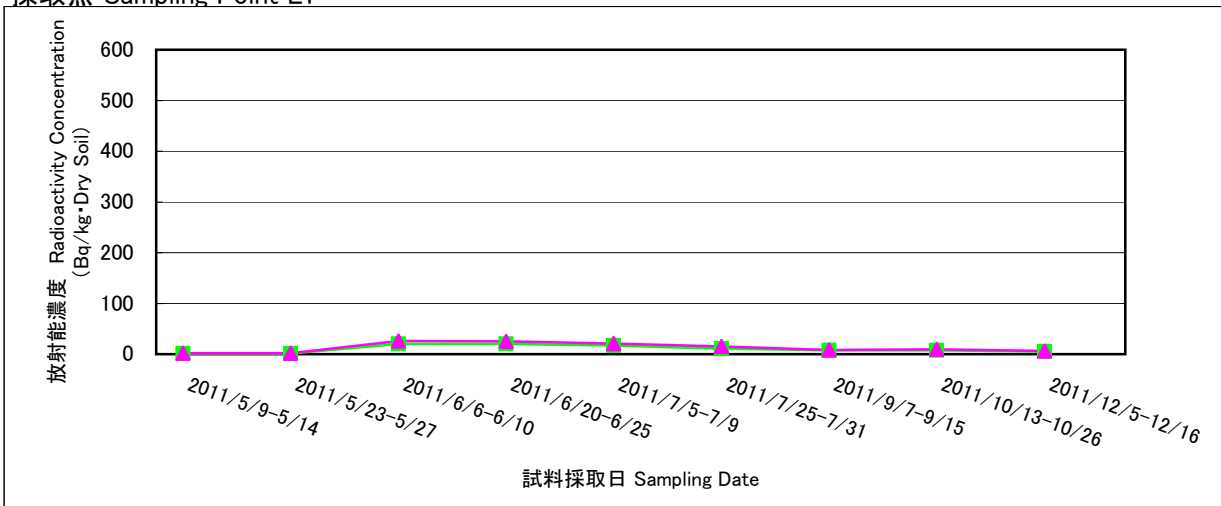
海底土のCs-134及びCs-137の放射能濃度の傾向

Trends of radioactivity concentration of Cs-134 and Cs-137 in marine soil

採取点 Sampling Point K2



採取点 Sampling Point L1



採取点 Sampling Point L3

